

**FAG****23960-B-K-MB-C3**

Rodamiento oscilante de rodillos

Rodamientos oscilantes de rodillos 239..-K, medidas principales según DIN 635-2, con agujero cónico, conicidad 1:12

Información técnica

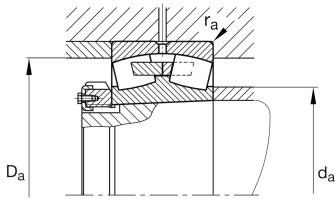


Variante de su producto actual

Ejecución	B	Con borde central fijo
Tipo de agujero	K	Cónico, conicidad 1:12
Jaula	MB	Jaula maciza de latón
Juego radial del rodamiento	C3 (Group 3)	Internal clearance larger than CN
Función de relubricación	Norma	Estándar

Medidas principales y datos de rendimiento

d	300 mm	Diámetro del agujero
D	420 mm	Diámetro exterior
B	90 mm	Anchura
C_r	1.270.000 N	Capacidad de carga dinámica, radial
C_{0r}	2.650.000 N	Capacidad de carga estática, radial
C_{ur}	170.000 N	Límite de carga por fatiga, radial
n_G	1.780 1/min	Velocidad límite de rotación
n_{gr}	1.000 1/min	Velocidad de referencia
m	37,775 kg	Peso





Medidas de montaje

$d_{a \min}$	312,4 mm	Diámetro mínimo resalte del eje
$D_{a \max}$	407,6 mm	Diámetro máximo del resalte del alojamiento
$r_{a \max}$	2,5 mm	Radio máximo de la ranura
$d_{a \max}$	329 mm	Diámetro máximo del resalte del eje
$d_{b \min}$	311 mm	Diámetro mínimo de la cavidad del casquillo
$B_{a \min}$	12 mm	Anchura mínima de la cavidad del casquillo

Medidas

r_{\min}	3 mm	Medidas mínimas del chaflán
D_1	384,6 mm	Diámetro del agujero del anillo exterior
d_s	9,5 mm	Diámetro del agujero de engrase
n_s	17,7 mm	Anchura de la ranura de lubricación

Rango de temperatura

T_{\min}	-30 °C	Temperatura mín. de funcionamiento
T_{\max}	200 °C	Temperatura máx. de funcionamiento

Factores de cálculo

e	0,2	Valor límite de F_a/F_r para la aplicabilidad de dif. Valores de los factores X e Y
Y_1	3,42	Factor de carga axial dinámica
Y_2	5,09	Factor de carga axial dinámica
Y_0	3,34	Factor de carga axial estática

Información adicional

H3960	Manguito de fijación
AH3960G	Withdrawal sleeve



Características

-  Carga radial
-  Carga axial en un sentido
-  Carga axial en ambos sentidos
-  Lubricación con grasa
-  Lubricación con aceite
-  No obturado
-  Gran rodamiento
-  Errores de alineación estáticos
-  Errores de alineación dinámicos